III-131 施力凍結光弾性奥駿法を併用した切土 斜面の模型 奥駿と斜面安定

1 はじめに

風化した亀製の多い岩盤や土砂で形成される自然の急傾斜面あるいは人工的に切り取った斜面にロックボルト工と併用して表面保護工,例えば現場打ち法棒工などを施せば、斜面に施工したロックボルト周辺の岩盤は、各ロックボルトを中心として一体化し、斜面にはあたかも石垣またはたゆみ性掩壁に似た構造体が形成されることは筆者らによってすでに指摘されてわり、これによって急傾斜面の安定を図る工法(SW工法)が提案されている。この工法は、地山自体を構造材料として活用し、かつ比較的短いボルトで斜面の安定を図るうとするところに特徴がある。このような構造体の安定には、ボルト長、ボルトの締付け力、さらには土の性質等を考慮しなければならない。既に基礎実験を踏まえ、実物の数分の一にあたる大きな地山模型による観察を経て、実用化への一歩を踏みだしている。しかし、重力場の現象として理論的裏付けになる現象の究明はむずかしく、なお不明確なとこるが多く残っている。光弾性実験の利用はこの点から有利と考え、ここに擬似掩壁の役割を果すロックボルトの作用効果に関する実験を、常温にかける模型実験と応力凍結法を利用した光弾性実験との組合せにより調査し、理論的検討を加えることにした。

2 実験概要

対象とした斜面は勾配が90°,すなかち垂直壁面ご斜面としては最も崩壊しやすい場合である。ロックボルトモデルは予備奥駿を経て、応力凍結実駿用にはエポキシ樹脂板,すべり線の観察用にはアクリル板を用いた。両者の常温時における性質は、ほとんど同じである。すべり線の観察は、擬似掩壁モデルを用いた応力凍結実験に合せて同時に行うのが望ましいが、加熱に耐える片面透明な奥駿槽の調達や狭い炉中でとれを行かなければならない等の理由から実験は別々に行なった。なお、地山材料には鉛の散弾を用いた。鉛の散弾は、砂のような塑性地山または破砕が極度に進んだ岩盤などを想定して選んだものであるが、白重が大きく、熱伝導率かよび流動性が良好で、実験中性質の変動が少なく、光弾性実験用材料としても適している。また、用いた散弾の粒径は約2mm,密度は11.2%では、単位体積重量は6.8%で、内部摩擦角は25~30°、線膨張係数は2.9x10-5/℃である。

3 実験とその結果

(1) ロックボルトの引抜き抵抗力: 斜面安定に対する他の工法と異なり、SW工法ではロックボルトと地山との間に働く摩擦抵抗力によって地山の一体化を図っている。地山を一体化し、擬似掩壁を形成するには、まずロックボルトが単独には地山から抜け出さないことである。一方、ロックボルトの引抜き抵抗力は光弾性実験による結果を批判する資料でもある。このような事情から、引抜き抵抗力が土圧とどのような関係になっているかは調査しておく必要がある。実験は、実験槽側方の下端に51×10mmのスリットをあけ、とこから断面が50×9mmのエポキン樹脂製のボルトを引き出し、とれを遠方からボルトの方向に引張って引放を抵抗力を求めた。引抜き抵抗力 Pは、土被にあたる土圧に摩擦係数を乗じて求められるとすれば、P=2&L&L/L/L/L である。ここに、ひ:モデルの幅、2;ロックボルト長、3;散弾の単位体積重量、上:1被り高さ、 L/L:エポキン樹脂板と散弾の摩擦係数(L/L=017)。図-5に実測結果の一部を示すが、実験結果は土被りに比例しない。これは実験構の形状寸法にも関係があると思われる。

(2) ロックボルトの光弾性実験: 実験槽はアルミ板製で周囲を溝型鋼で補強してある。実験の具体は、始めに散弾の排出口を塞いでおき、仕切り広板の高さまで散弾を敷をなるす。次に、仕切り広板の上端にSW工法モデルを載せ、とれを鉛直に供ちながる散弾を敷くようにして一様に詰める。この詰めたはゆる詰めに相当する。

SWI式モデルの埋設終3後、排出口をあけて散弾を少しずつ排出する。これによって垂直な壁面をもつSWI法の掩壁が完成する。この掩壁は、あためを施工を上部かる逐次に行って築いたのと同じ結果となっている。掩壁の自立を確認し、容器ごと暖めて応力凍結を行う。

表ーーに実験ケースを示した。ロックボルトモデルの最大長375mは、製作したエポキシ 樹脂板から採取できた最大寸法にすぎない。 図-2に等色線写真の一部を、図ー3に図ー 2に対応する軸力分布図を示した。このよう に重力場にかける現象を計測できたことは、

記号	ロックポ ルトモデ ル長 CEI	ロックポ ルトモデ ルの断面 ca	法面プレートの断面 ca
L37.0-1~7	37.0	5×0.9	10×10
L35.0-1~7	35.0		
L32, 5-1~7	32.5		
L30.0-1~7	30,0		
L27.5-1~7	27.5		
L25.0-1-7	25.0		
L22.5-1~7	22.5 [®]		

※ モデル破損,実験	の継続不可能となる。	
------------	------------	--



回一1 実験槽と実験法の説明図

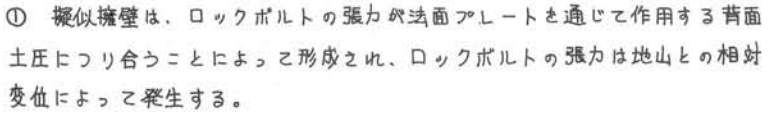
この種の研究に応力凍結法が利用できることを示している。

(3) すべり線の観察: 用いた実験槽は101×800×580 mm で、 片面は厚さ15 mm のアクリル板となっている。ボルトの断面は50×9.8 mm、法面プレートの大きさは70×100×9.8 mm である。モデルのセットは光弾性の場合と全く同じである。SWI法モデルの埋設終3後、排出口をあけて散弾を少量ずつ排出する



4 実験結果の考察

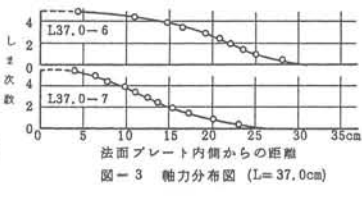
これるの東騒結果に基ざを操似掩壁とロックボルトの作用効果をめぐる要点を述べれば、



- ② 同一長をのロックポルトによる擬似掩壁は、地山によるソイルウォール (S.W.)としてためみ性掩壁を形成する。
- ③ ロックボルトの土圧に対する抵抗形態は、ロックボルトの斜面に対する 設置位置によって異なる。
- ④ ロックボルト打設領域(擬似擁壁形成域)では、ほぼボルト軸線に沿ってすべり線が発生し、地表へ向う曲線すべり線はその区域より奥に生ずる。
- ⑤ 擬似機壁の安定は、ロックボルト打設領域をソイルウォールと考え、との安定を機壁に作用する土圧または斜面のすべり安定などによって評価することができ、ロックボルトについては、引抜き抵抗力が背面土圧につり合うことで設計することができる。

5 おかりに

重力場の現象として斜面に打設したロックボルトの応力を計測することは困難であったが、光弾性更験を利用することによってとの可能性を見い出すことができた。SWI法の安定に関する理論的裏付けのみなるず、他方面への応用にも役立っと思う。なお、更酸を行うに当たり当時本学学生の夫政紀君の助力があったことを記し謝意にかえる。



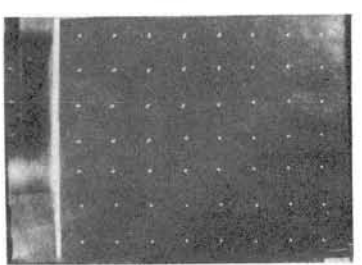


図-4 すべりゾーンの観測写真

